



AL-Rafidain  
University College

PISSN: (1681-6870); EISSN: (2790-2293)

## مجلة كلية الرافدين الجامعة للعلوم

Available online at: <https://www.jrucs.iq>

JRUCS

Journal of AL-Rafidain  
University College for  
Sciences

### استعمال مبدأ المسافة الدائرية لاكتشاف القيم الشاذة في أنموذج الانحدار الدائري

أمال محمد جواد عبد الكاظم

[hibafarinjai@gmail.com](mailto:hibafarinjai@gmail.com)

قسم الإحصاء- كلية الإدارة والاقتصاد- جامعة كربلاء، كربلاء، العراق.

مهدي وهاب نعمة نصر الله

[mehdi.wahab@uokerbala.edu.iq](mailto:mehdi.wahab@uokerbala.edu.iq)

تماضر كفاح حسن

[tmadrkfahhsnalhsnawy@gmail.com](mailto:tmadrkfahhsnalhsnawy@gmail.com)

قسم الإحصاء- كلية الإدارة والاقتصاد- جامعة كربلاء، كربلاء، العراق.

#### معلومات البحث

##### تاریخ البحث

2022/12/20

تاریخ تقديم البحث:

2023/3/3

تاریخ قبول البحث:

2023/12/31

تاریخ رفع البحث على الموقع:

##### الكلمات المفتاحية

قيم شاذة، أنموذج الانحدار الدائري، احصاء

،تقدير، COVA RATIO

##### للمراسلة:

مهدي وهاب نعمة نصر الله

[mehdi.wahab@uokerbala.edu.iq](mailto:mehdi.wahab@uokerbala.edu.iq)

<https://doi.org/10.55562/jrucs.v54i1.592>

#### المستخلص

في هذا البحث تم استعمال مبدأ المسافة الدائرية لإنناج إحصاء COVA RATIO وذلك بعد حذف البيانات الشاذة من مجموعة البيانات الكاملة بعد الاخذ بنظر الاعتبار محدد مصفوفة التغير (البيان المشرك) لغرض استعمالها في الكشف عن القيم الشاذة في البيانات الدائرية التي تمثل بيانات واقعية عن العين وهي زاوية العين التي تسبب الحول لغرض تقدير أنموذج الانحدار الدائري للبيانات. وتم التوصل الى ان تطبيق احصاء نسبة التباين قد ساعد في اكتشاف القيم الشاذة والمؤثرة على العين بشكل كامل والتي يختلف سقها عن باقي القياسات للمرضى، حيث اعطى انموذج الانحدار الدائري ملائمة جيدة للبيانات الحقيقة في ظل المشاهدات الشاذة.

#### 1. مقدمة

بعد اول ظهور لأنموذج الانحدار الدائري على يد الباحث (Goud, 1969) وتم بعد اقتراح العديد من نماذج الانحدار الدائري. فقد طرح مفهوم الانحدار الدائري لبيانات عبارة عن اتجاهات تقاس كزرويا في مستوى مع الإشارة إلى إحساس ثابت بالدوران واتجاه ثابت للصفر، حيث نقاشا بعض الطرائق التجريبية والاختبارات المقاربة لتحديد درجة معادللة الانحدار وطورا بعض الخوارزميات العددية لایجاد معاملات الانحدار الدائري. تلتهم بعد ذلك الكثير من الدراسات والبحوث التي تناولت موضع الانحدار الدائري ودرسته من مختلف الجوانب منها الاخذ بنظر الاعتبار وجود القيم الشاذة في البيانات الدائرية ففي عام (2013) اقترح (A.H. Abuzaid) وأخرون إحصاء عدبية جديدة سميت متوسط الخطأ الدائري (Mean Circular error) (MCE) وعرفت باستعمال المسافة الدائرية لغرض تحديد واكتشاف القيم الشاذة المحتملة في نماذج الانحدار الدائري وبجانب نهج خذف الصف (Row deletion) تم الحصول على الدالة لغرض تقدير إنموذج الانحدار الدائري وباستعمال تجارب محاكاة مكثفة تم التحقق من قوة اداء الطريقة المقترحة . واستعمل (A. Ibrahim) وأخرون طريقة المربعات الصغرى (OLS) لتقدير معلمات انموذج الانحدار الدائري واعتمدوا على احصاء COVARATIO وطريقة حذف الصف لتحديد واكتشاف القيم الشاذة في أنموذج الانحدار الدائري، وفي عام (2015) استعمل (Ramblí) وأخرون إحصاء COVARATIO لتحديد واكتشاف القيم الشاذة في أنموذج الانحدار الدائري الذي اقترحه كل من (Downs & Mardia, 2002) وتم تقييم اداء الطريقة عن طريق تجارب محاكاة مونت-كارلو. أما في عام (2017) اقترح (Mahmood) وأخرون احصاء جيدة لتحديد القيم الشاذة المتعددة في أنموذج الانحدار الدائري البسيط تعتمد على حساب المسافة الدائرية الحصينة بين الباقي الدائري ومعلمته الموقع الدائري وتم تقييم اداء الطريقة المقترحة باستعمال المعايرة على احجام عينات

مختلفة بنسب تلوث 10% و 20% من خلال نسب القيم الشاذة ومعدل الاخفاء والاغراق. في هذا البحث تم استعمال مبدأ المسافة الدائرية لانتاج احصاء COVA RATIO وذلك بعد حذف البيانات الشاذة من مجموعة البيانات الكاملة بعد الاخذ بنظر الاعتبار محدد مصفوفة التغير (البيان المشترك) لعرض استعمالها في الكشف عن القيم الشاذة في البيانات الدائرية التي تمثل بيانات واقعية عن العين وهي زاوية العين التي تسبب الحول لغرض تغيير انموذج الانحدار الدائري للبيانات.

## 2. الإحصاء الدائري (Circular Statistics) [9][8]

الأصل. في التحليل الدائري، يتم التركيز على الاتجاه فقط. ومن الأمثلة على البيانات الدائرية الاتجاهات المقاسة باستخدام أدوات مثل البوصلة أو المنقلة أو ريشة الطقس او الفرجال. degrees and radians. فالمطلوب هو تحديد موقع النقطة والاتجاه وليس كما في البيانات على الخط الحقيقي ، فالقيم الموجودة على يسار نقطة الأصل (0) تكون سالبة والقيم الموجودة على اليمين تكون موجبة. وبالنسبة للبيانات الدائرية، تحدد كل زاوية تعرف نقطة على محيط دائرة الوحدة، تماماً كما تحدد كل قيمة لمتغير خطى نقطة على الخط الحقيقي. ومع زيادة القيمة المطلقة للمتغير الخطى ، تبتعد عن نقطة الأصل.

## 3. القيمة الشاذة Outliers value [10][2]

تعتبر القيمة الشاذة قيمة خارجة عن النسق المميز لمجموعة أو تركيبة معينة بحيث تتشد عن نمط باقي البيانات. وانها نقاط بيانات تكون مبتعدة عن غالبية نقاط البيانات الأخرى اي انها مشاهدات لا تنسجم مع بقية بيانات المجموعة لأي متغير من المتغيرات ظاهرة معينة أو لمجموعة من الظواهر، فقد تكون قيمة هذه المشاهدة كبيرة أو قد تكون صغيرة واقفة في أحد طرفى مجموعة المشاهدات المرتبة تصاعدياً أو تناظرياً، وأن شذوذها قد يكون في حالات كثيرة مسألة طبيعية ملزمة لبعض المتغيرات. وتعرف المشاهدة الشاذة (الملوثة) إحصائياً بأنها المشاهدة المتأتية من مجتمع مختلف عن المجتمع قيد البحث. أي أن المجتمع الأصلي تم تلويبه بمشاهدات من مجتمع آخر. والقيم الشاذة مشاهدات تتحرف كثيراً عن المشاهدات الأخرى وهي مولدة بطريقة مختلفة عن طريقة توليد المشاهدات الأصلية .

## 4. احصاء نسبة التباين COVARATIO [9][8][7]

بيلسلி وأخرون. (1980) استخدم منهجة حذف الصف للتأكد في تأثير حذف صف واحد في كل مرة على المعاملات المقدرة والقيم المجهزة والبواقي ومصفوفة التغير لنماذج الانحدار الخطى. حيث اهتموا بالتأثيرات المقابلة على مصفوفة التغير لنموذج الانحدار الدائري. وذلك للاخذ بنظر الاعتبار تأثير حذف صف واحد من بيانات الانحدار الدائري على نسبة مصفوفة التغير المقدرة باستخدام جميع المشاهدات المتاحة عبر مصفوفة التغير المقدرة عند حذف المشاهدة j "COV" "COV" (-j) . COVARATIO :

$$\text{COVARATIO} = \frac{|\text{COV}|}{|\text{COV}_{-j}|} \quad (1)$$

اذ ان بهذه الاحصاء يتم استعمال المسافة بين البيانات الدائرية للكشف عن القيم الشاذة في البيانات الدائرية فإذا كان  $|1 - \text{COVARATIO}_{(-j)}|$ , فأي مشاهدة بـ  $|1 - \text{COVARATIO}_{(-j)}|$  سوف يتم تجاوزها وتعيين بانها قيمة شاذة .

## 5. انموذج الانحدار الدائري [1][3] The Circular Regression Model

تم انموذج انحدار لمتغيرين عشوائيين دائريين U و V من حيث التوقع الشرطي لـ  $e^{iv}$  بمعلومية u وكالآتي:

$$E(e^{iv}|u) = \rho(u)e^{iu(g_1(u))} = g_1(u) + ig_2(u) \quad (2)$$

إذ أن:

$$e^{iv} = \cos v + i \sin v \quad (3)$$

و  $(u)$  يمثل المتوسط الشرطي الإتجاهي لـ v بمعلومية u، و  $(u)$   $\rho$  معلمة الكثافة الشرطية للدوال  $(u)$   $g_1(u)$  و  $ig_2(u)$  والتي تكتب كالتالي :

$$E(\cos v|u) = g_1(u) \quad (4)$$

$$E(\sin v|u) = g_2(u) \quad (5)$$

فإن v بحيث أن:

$$\mu(u) = \hat{v} = \arctan * \frac{g_2(u)}{g_1(u)} = \begin{cases} \tan^{-1} \frac{g_2(u)}{g_1(u)} & \text{if } g_1(u) > 0 \\ \pi + \tan^{-1} \frac{g_2(u)}{g_1(u)} & \text{if } g_1(u) \leq 0 \\ \text{undefined} & \text{if } g_1(u) = g_2(u) = 0 \end{cases} \quad (6)$$

ولصعبية تدبير  $(u)$   $g_1$  و  $g_2$  يقودنا الى تقريب هذه الدوال باستعمال دوال مناسبة بالأخذ بنظر الاعتبار حقيقة دوريتها ضمن الفترة  $2\pi$ . لذلك سيكون التقريب باستعمال متعددة حدود مثلثية مناسبة من الدرجة m وعلى الصيغة الآتية:

$$g_1(u) \approx \sum_{i=1}^m (A_k \cos ku + B_k \sin ku) \quad (7)$$

$$g_2(u) \approx \sum_{i=1}^m (C_k \cos ku + D_k \sin ku) \quad (8)$$

وبذلك نحصل على الإنموذج الآتي:

$$\cos v = \sum_{i=1}^m (A_k \cos ku + B_k \sin ku) + \varepsilon_1 \quad (9)$$

$g_2(u) \approx \sum_{i=1}^m (C_k \cos ku + D_k \sin ku) + \varepsilon_2$  (10)  
 حيث أن  $(\varepsilon_1, \varepsilon_2) = \varepsilon$  هو متجه الاخطاء العشوائية التابع للتوزيع الطبيعي بمتوسط صفر ومصفوفة تباين مجهولة  $\Sigma$  ، وان  $k=0,1,2,\dots,m$  حيث أن  $(A_k, B_k, C_k, D_k)$  هي الاخطاء القياسية .

### 6. تقدير انموذج الانحدار الدائري [1] Estimation of the Circular Regression Model

استعملت طريقة تقيير المربعات الصغرى العامة لنماذج الانحدار الدائري وكالآتي:

ليكن،  $(u_1, v_1, \dots, u_n, v_n)$  عينة عشوائية دائرية بحجم  $n$  ، فمن معادلة (10) فان المعادلة المشاهدة يمكن ان تكتب كالتالي:  
 $v_{1j} = \cos v_j = \sum_{i=1}^m (C_k \cos ku_j + D_k \sin ku_j) + \varepsilon_{1j}$  (11)

$$v_{2j} = \sin v_j = \sum_{i=1}^m (C_k \cos ku_j + D_k \sin ku_j) + \varepsilon_{2j} \quad j = 1, \dots, n \quad (12)$$

وأن:

$$\begin{aligned} \lambda^{(1)} &= (A_0, A_1, \dots, A_m, B_1, \dots, B_m)' \\ \lambda^{(2)} &= (C_0, C_1, \dots, C_m, D_1, \dots, D_m)' \end{aligned}$$

فإن تقيير المربعات الصغرى يكون :

$$\hat{\lambda}^{(1)} = (U'U)^{-1} U' V^{(1)} \quad (13)$$

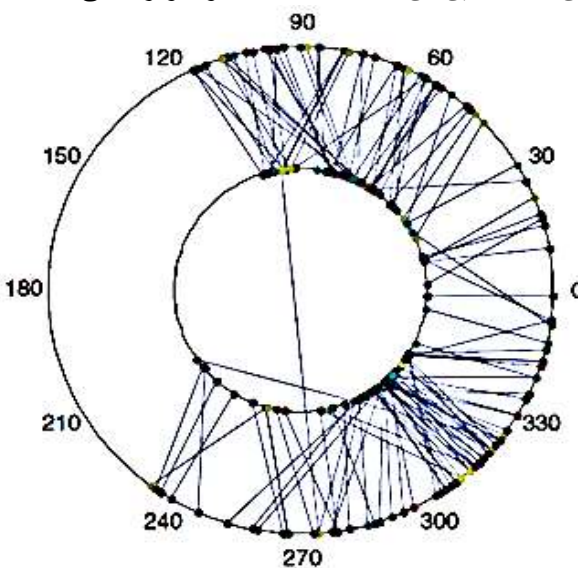
$$\hat{\lambda}^{(2)} = (U'U)^{-1} U' V^{(2)} \quad (14)$$

ومن ثم نحتاج الى تقيير مصفوفة التباين المشترك  $\Sigma$  باستعمال نظرية المربعات الصغرى ، فليكن  
 $R_0(q, p) = V^{(p)'} V^{(q)} - V^{(p)'} (U'U)^{-1} U' V^{(q)}$  (15)

حيث أن:  $M = (U'U)^{-1} U'$  و  $R_0(q, p))_{p,q=1,2} = R_0$  فان تقيير مصفوفة التباين يكون بالصيغة الآتية:  
 $\hat{\Sigma} = [n - 2(2m + 1)]^{-1} R_0$  (16)

### 7. الجانب التطبيقي

تم اخذ بيانات عن العين لـ (130) مصابا بالحول والتي تمثل متغيرين دائريين مقاسان بالراديان، الأول هو زوايا انحاء العين (u) والثاني يمثل زاوية انحاء الفزحية (v) والتي تم الحصول عليها من وحدة استشارية العيون في مستشفى الحسين التعليمي في محافظة كربلاء المقدسة. وبين الشكل (1) والذي يمثل المخطط الدائري Spoke Plot للبيانات الحقيقية ان قيمة معامل الارتباط بين المتغيرين بلغت (0.8544) وهذه القيمة تشير الى ان هنالك ارتباطا قويا جدا وطريا بين المتغيرين حيث نلاحظ ان هنالك فقط زوجين من المشاهدات يكونان على خط مستقيم ويعبران الدائرة الداخلية للمخطط الدائري بحيث يقطع احد الخطين الداخليين بالكامل وهي المشاهدة رقم (38) بينما يقطع الآخر في وتر قصير لا يعبر الدائرة الداخلية للمخطط الدائري وهي المشاهدة رقم (125) وهذا مؤشر اولي الى ان هاتين المشاهدتين من المشاهدات الفعالة والمؤثرة على الحالة المرضية للمريض.



شكل (1): المخطط الدائري Spoke plot للبيانات الحقيقة

والآن س يتم ملائمة انموذج الانحدار الدائري JS للبيانات الحقيقة، حيث ان لمعلمات المقدرة كانت كالآتي:

$$\hat{A}_0 = 0.0785$$

$$\begin{aligned}\hat{A}_1 &= 0.7685 \\ \hat{B}_1 &= -0.0877 \\ \hat{C}_0 &= -0.058 \\ \hat{C}_1 &= -0.1051 \\ \hat{D}_1 &= 0.8867\end{aligned}$$

وان الانموذج الملائم للداول  $(u)$   $g_1(u)$  و  $g_2(u)$  كالآتي:

$$\begin{aligned}\hat{g}_1(u) &= 0.0785 + 0.7685\cos(u) - 0.0877\sin(u) \\ \hat{g}_2(u) &= -0.058 + 0.1051\cos(u) + 0.8867\sin(u)\end{aligned}$$

وان:

$$\mu(u) = \hat{V}_j = \arctan * \frac{-0.058 + 0.1051\cos(u) + 0.8867\sin(u)}{0.0785 + 0.7685\cos(u) - 0.0877\sin(u)} ; j = 1, 2, \dots, n$$

$$\hat{\rho} = \sqrt{\frac{1}{n} \sum_{j=1}^n \hat{\rho}^2(u_j)} = \sqrt{\frac{1}{n} [g_1^2(u)] + g_2^2(u)} = 0.8544$$

الآن، نقوم بتطبيق إحصائية COVRATIO لاكتشاف أي من المشاهدات مؤثرة محتملة في بيانات العين.

ان محدد مصفوفة التغاير لمجموعة البيانات الكاملة

$|COV| = 660.00$

والقيمة المقابلة لـ  $|1 - (-j)|$  COVRATIO تم احتسابها، اذ نجد أن المشاهدة (7) والمشاهدة رقم (38) مهمات للغاية. ويتبين ذلك من خلال الشكل (2)، الذي يوضح أن قيمة المشاهدة رقم (38) و (125) تختلفان عن القيم الأخرى.

## 8. مناقشة النتائج

ان تطبيق احصاءة نسبة التباين قد ساعد في اكتشاف القيم الشاذة والمؤثرة على العين بشكل كامل والتي يختلف نسقها عن باقي القياسات للمرضى، حيث اعطى انموذج الانحدار الدائري ملائمة جيدة للبيانات الحقيقية في ظل المشاهدات الشاذة.

### المصادر

- [1] Jammalamadaka, S. R., Sarma, Y. R. (1993). "Circular regression". In: Matsusita, K., ed. Statistical Science and Data Analysis. Utrecht: VSP, pp. 109–128.
- [2] H. Abuzaid, A. G. Hussin & I. B. Mohamed , "Detection of outliers in simple circular regression models using the mean circular error statistic", Journal of Statistical Computation and Simulation Vol. 83, No. 2, February 2013, 269–277
- [3] Alshqaq, Shokrya S., Abdullah A. Ahmadini , and Ali H. Abuzaid, (2021)(1) " Some New Robust Estimators for Circular Logistic Regression Model with Applications on Meteorological and Ecological Data", Hindawi Mathematical Problems in Engineering Volume 2021, Article ID 9944363, 15 pages <https://doi.org/10.1155/2021/9944363>.
- [4] Pewsey, Arthur; Neuhuser, Markus; D. Ruxton, Graeme, (2013), Circular Statistics in R, Oxford University Press.
- [5] Abuzaid, A. H., Hussin, A. G., Mohamed, I. B. (2008). "Identifying single outlier in linear circular regression model based on circular distance", Journal of Applied Probability and Statistics 3(1):107–117.
- [6] Barrera , Azael, (2014), "Unit Circles and Inverse Trigonometric Functions, A method to determine all the inverse trigonometric functions directly from the unit circle", The Mathematics Teachers, Vol. 108, No. 2.
- [7] Belsley, D. A., Kuh, E., Welsch, R. E. (1980). Regression Diagnostics: Identifying Influential Data and Sources of Collinearity. New York: John Wiley & Sons.
- [8] Obikee Obikee, Adaku C., Ebuh; Godday U., Happiness; Obiora-Ilouno, (2014), "Comparison of Outlier Techniques Based on Simulated Data", Open Journal of Statistics, Vol. 4, No. 7.
- [9] Ibrahim, S., 2013. Some Outlier Problems in a Circular Regression Model (Ph.D. thesis). Institute of Mathematical Sciences, University of Malaya.



AL- Rafidain  
University College

PISSN: (1681-6870); EISSN: (2790-2293)

## Journal of AL-Rafidain University College for Sciences

Available online at: <https://www.jrucs.iq>

JRUCS

Journal of AL-Rafidain  
University College for  
Sciences

### Using the Circular Distance Principle to Detect Outliers in the Circular Regression Model

**Mahdi W. Nea'ama Naserallah**

[mehdi.wahab@uokerbala.edu.iq](mailto:mehdi.wahab@uokerbala.edu.iq)

Statistics Department, Faculty of Administration and Economics, Karbala University, Karbala, Iraq

**Amal M. Abed Alkadhum**

[hibafarisnaji@gmail.com](mailto:hibafarisnaji@gmail.com)

**Tamadur K. Hassan**

[tmadrkfahhsnalhsnavy@gmail.com](mailto:tmadrkfahhsnalhsnavy@gmail.com)

Statistics Department, Faculty of Administration and Economics, Karbala University, Karbala, Iraq

#### Article Information

##### Article History:

Received: December, 20, 2022

Accepted: March, 3, 2023

Available Online: December, 31, 2023

##### Keywords:

Outliers, circular regression patterns,  
COVA RATIO statistics, estimation.

##### Correspondence:

Mahdi W. Nea'ama Naserallah

[mehdi.wahab@uokerbala.edu.iq](mailto:mehdi.wahab@uokerbala.edu.iq)

<https://doi.org/10.55562/jrucs.v54i1.592>

#### Abstract

*In order to detect abnormal values in the circular data that represent realistic data about the eye, which is an angle, the COVA RATIO statistic was calculated in this study using the principle of circular distance, after the abnormal data was removed from the entire data set and consideration of the covariance determinant of the covariance matrix. The amblyopia-causing eye in order to estimate the data's circular regression model. It was determined that the application of the contrast ratio statistics helped in discovering the abnormal values that affect the eye completely, and whose format differs from the rest of the measurements for patients, as the circular regression model provided a good fit for the real data in light of the abnormal observations.*